

## ارزیابی و بهینه‌سازی مدل REGEM برای برآورد توزیع فرسايش آبکندی در سه حوضه‌ی آبخیز از استان اردبیل

حسین شهاب آرخازلو\*: استاد پارگروه علوم و مهندسی خاک، دانشکده‌ی کشاورزی و منابع طبیعی دانشگاه محقق اردبیلی، اردبیل.

شکراله اصغری: دانشیار گروه علوم و مهندسی خاک، دانشکده‌ی کشاورزی و منابع طبیعی دانشگاه محقق اردبیلی، اردبیل.

تاریخچه مقاله (تاریخ دریافت: ۹۷/۱۱/۱۸)

(تاریخ پذیرش: ۹۷/۱۲/۲۵)

### چکیده

تعیین خطر فرسايش آبکندی، نیازمند برآورد شدت این خطر و تعیین توزیع خطر فرسايش در سطح حوضه‌ی آبخیز است. در این پژوهش سه حوضه‌ی آبخیز در مناطق ارتاداغ، ملاحمد و سرچم استان اردبیل انتخاب شد. با استفاده از روابط دو مدل<sup>۱</sup> و REGEM<sup>۲</sup> سازگار شده با شرایط منطقه (AREGEM<sup>۳</sup>، سه خروجی مدل شامل عامل تنفس برشی ( $\tau_c$ )، فرسايش خاک (K<sub>d</sub>) و حجم آبکندها (V) در آبکندهای منتخب محاسبه شد. سپس با استفاده از درون‌یابی IDW، توزیع این سه عامل در سطح حوضه‌ها صورت گرفت. در نهایت با استفاده از دو شاخص نسبت تراکم (Dr) و مجموع کیفیت (Qs)، طبقات شدت فرسايش به دست آمده از دو مدل ارزیابی و با یکدیگر مقایسه شد. نتایج نشان داد بین مقادیر فرسايش برآورد شده با مدل AREGEM و طبقات حساس به فرسايش آبکندی، انطباق بیشتری وجود دارد. بنابراین، مدل AREGEM کیفیت پنهانه‌بندی بیشتری دارد و توانایی این مدل در تعیین طبقات حساس به فرسايش آبکندی بیشتر است. همچنین در بین سه منطقه‌ی مورد مطالعه، مدل AREGEM در منطقه‌ی ارتاداغ بیشترین کارایی را در تعیین توزیع فرسايش آبکندی دارد. از بین سه خروجی به دست آمده از مدل نیز استفاده از حجم آبکندها در تعیین دقیق‌تر توزیع فرسايش آبکندی، کارایی بیشتری دارد.

**کلمات کلیدی:** اصلاح مدل، سامانه‌ی اطلاعات جغرافیایی (GIS)، ارزیابی خطر.

### ۱- مقدمه

شدیدترین نوع فرسايش آبی که به تخریب گستردگی خاک و تولید حجم زیاد رسوب منجر می‌شود، فرسايش آبکندی است (Poesena et al, 2003 & Valentin et al, 2005). پر شدن مخازن سدها در اثر تولید حجم زیاد رسوب، از بین رفتن زمین‌های کشاورزی، کاهش حاصلخیزی خاک، ایجاد و گسترش بدلتنهای و هدر رفت آب در اثر کاهش ظرفیت نگهداری آب خاک، مواردی از اثرات مخرب این نوع فرسايش در محیط زیست است (Dlapa et al, 2012). به آبکندهایی که عمق آنها در قسمت سر آبکند کمتر از ۸۰ سانتی‌متر است، آبکندهای کوچک گفته می‌شود (Valentin et

\* نویسنده مسئول [h.shahab@uma.ac.ir](mailto:h.shahab@uma.ac.ir)

<sup>۱</sup> Revised Ephemeral Gully Erosion Model

<sup>۲</sup> Adapted REGEM

2005 al.). این نوع آبکندها به علت فعال بودن و تغییرات سریع ابعادشان در اثر سیلاب‌های فصلی، تلفات خاک و آب زیادی را در حوضه‌های آبخیز حساس به فرسایش ایجاد می‌کند (Chaplot, 2013). یکی از مهم‌ترین اقدامات لازم برای مقابله با فرسایش آبکندها، پیش‌بینی و طبقه‌بندی میزان خطر تشکیل آبکند در نقاط مختلف حوضه‌های آبخیز دارای این نوع فرسایش و ارائه نقشه‌ی برآورده شدت فرسایش آبکنده است (Qilin et al, 2011).

برآورد میزان فرسایش خاک و تهیه‌ی نقشه‌ی توزیع شدت فرسایش آبکنده، نیازمند استفاده از مدل مناسب است. مدل‌سازی فرسایش آبکنده معمولاً به صورت پیش‌بینی محل تشکیل آبکندها، رشد طولی، حجم رسوب تولیدی در اثر فرسایش آبکنده و امکان تشکیل آبکند انجام می‌شود (Jafarai Gorzin and Kavian, 2009 & Tekwa et al, 2015). مدل‌های چندانی برای برآورده این نوع فرسایش وجود ندارد و اینک مدل<sup>3</sup> EGEM و REGEM تنها مدل قابل اتکا برای برآورد فرسایش آبکنده به ویژه آبکندهای موقت است (Capra et al, 2005 & Tekwa et al, 2015). گوردون و همکاران (Gordon et al, 2006) نشان دادند که مدل REGEM، فرسایش خاک را در مراحل اولیه‌ی تشکیل آبکند به خوبی پیش‌بینی می‌کند. همچنین بیان شده‌است که بین عرض برآورد شده‌ی آبکند توسط REGEM و سطح مقطع آبکندهای موقت، همبستگی معنی‌داری وجود ندارد و طول آبکندها در تخمین حجم خاک فرسایش یافته توسط این مدل، تأثیر زیادی دارد (Capra et al, 2005). Nachtergaele et al, 2001a و همکاران (Nachtergaele et al, 2001a) نیز بین مقدار فرسایش خاک از آبکندهای موقت – که توسط مدل EGEM پیش‌بینی شده بود – با مقدار اندازه‌گیری شده‌ی آن، همبستگی بسیار خوبی مشاهده کردند، ولی این همبستگی بین سطح مقطع اندازه‌گیری و برآورد شده‌ی آبکندها توسط مدل معنی‌دار نبود. بررسی کارایی مدل EGEM در استان آذربایجان شرقی نشان داد که بین مقدار فرسایش خاک و سطح مقطع اندازه‌گیری شده و برآورد شده‌ی آبکندها توسط مدل، همبستگی قوی و خوبی وجود دارد. همچنین همبستگی بین عرض اندازه‌گیری شده و تخمین زده شده‌ی آبکند توسط مدل نیز معنی‌دار بود (Rezaei Moghaddam and Behbodi, 2011). مدل REGEM، از دو جزء هیدرولوژیک و فرسایش تشکیل شده‌است که در جزء هیدرولوژیک از شماره‌ی منحنی، سطح زهکشی آبکند، طول جریان حوضه، شب میانگین حوضه، میزان بارش ۲۴ ساعته و توزیع زمانی بارش استفاده می‌شود تا میزان اوج تخلیه‌ی رواناب و حجم آبدوی را برآورد کند. در جزء فرسایش، از معادلات رگرسیونی برای برآورد عرض اولیه و نهایی آبکند استفاده می‌شود. در این معادلات عواملی مانند تخلیه‌ی اوج (حاصل از قسمت اول)، ضریب زبری مانینگ، تنش برشی بحرانی خاک، شب جریان متتمرکز، عرض معادل و عرض نهایی مشاهده شده آبکند به عنوان متغیرهای مستقل – که بر عرض آبکند مؤثرند – در نظر گرفته می‌شود و بین این عوامل و عرض آبکند نیز رابطه‌ی رگرسیونی تجربی برقرار می‌شود (Woodward, 1999 & Alonso et al, 2002).

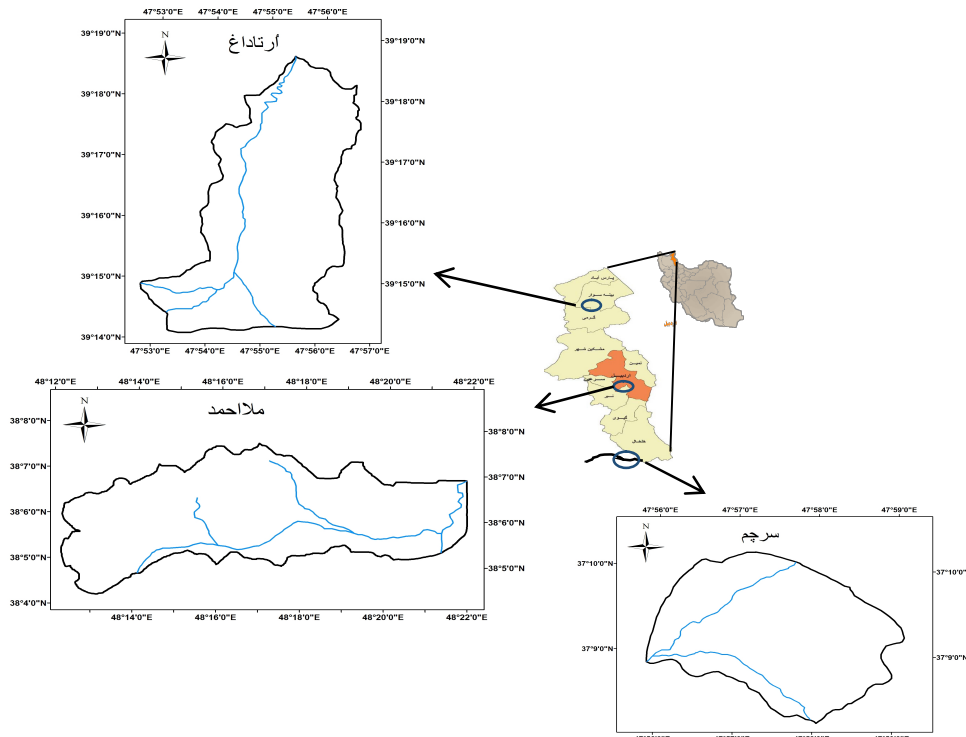
فرسایش آبکنده و اثرات مخرب آن در نقاط مختلف دنیا، سطح ایران و به ویژه استان اردبیل و مناطق مجاور آن گزارش شده‌است (Moghimi and Salammi, 2011 & Soufi and Esaei, 2010 & Bayatti, & Poesena et al, 2003). فرسایش آبکنده در سه منطقه‌ی ارتاداغ، ملاحمد و سرچم – که به ترتیب در شمال، مرکز و جنوب استان

<sup>3</sup> Ephemeral Gully Erosion Model

اردبیل قرار دارند – به صورت گستردۀ مشاهده می‌شود (Shahab et al, 2016)؛ بنابراین، اجرای پژوهش‌های بیشتر در این حوزه‌های آبخیز و تهیه‌ی نقشه‌ی برآورد فرسایش آبکندي به منظور مدیریت مناسب حفاظت خاک این مناطق، امری ضروری است. هر چند مدل REGEM برای تعیین فرسایش آبکندهای موقت ایجاد شده‌است، با توجه به اینکه آبکندهای کوچک نیز ابعاد نزدیک به آبکندهای موقت دارد و ابعاد آن از اجزای اصلی پیش‌بینی مدل REGEM است، در این پژوهش فرض می‌شود می‌توان از این مدل در پیش‌بینی فرسایش حاصل از آبکندهای کوچک نیز استفاده کرد. همچنین با توجه به اینکه جزء فرسایشی مدل REGEM براساس برقراری روابط رگرسیونی بین ابعاد آبکندهای مشاهده شده و ورودی‌های مدل برآورد می‌شود، این بخش متناسب با داده‌های منطقه اصلاح می‌شود تا بتوان به مدل REGEM سازگار شده (AREGEM) دست یافت که با منطقه متناسب باشد (Tekwa et al, 2015). بر این اساس با استفاده از مدل AREGEM و REGEM، سه عامل تنش برشی مدل ( $\tau_c$ )، فرسایش خاک مدل ( $k_d$ ) و در نهایت برآورد حجم فرسایش آبکندي در سه حوضه‌ی آبخیز از مناطق ارتاداغ، ملااحمد و سرچم برآورد شد. این سه عامل به عنوان شاخصی از شدت فرسایش آبکندي در نظر گرفته شد و توزیع آنها در سطح حوضه‌های آبخیز به دست آمد. سپس سطح منطقه از نظر مقدار این عوامل، به چهار طبقه تقسیم شد. به منظور مقایسه‌ی دو مدل از نظر کارایی برآورد فرسایش آبکندي، از دو روش نسبت تراکم (Dr) و شاخص کیفیت (Qs) استفاده شد و طبقات شدت فرسایش به دست آمده از دو مدل، توسط این دو شاخص بررسی شد (Yalcin, 2008).

## ۲- منطقه مورد مطالعه

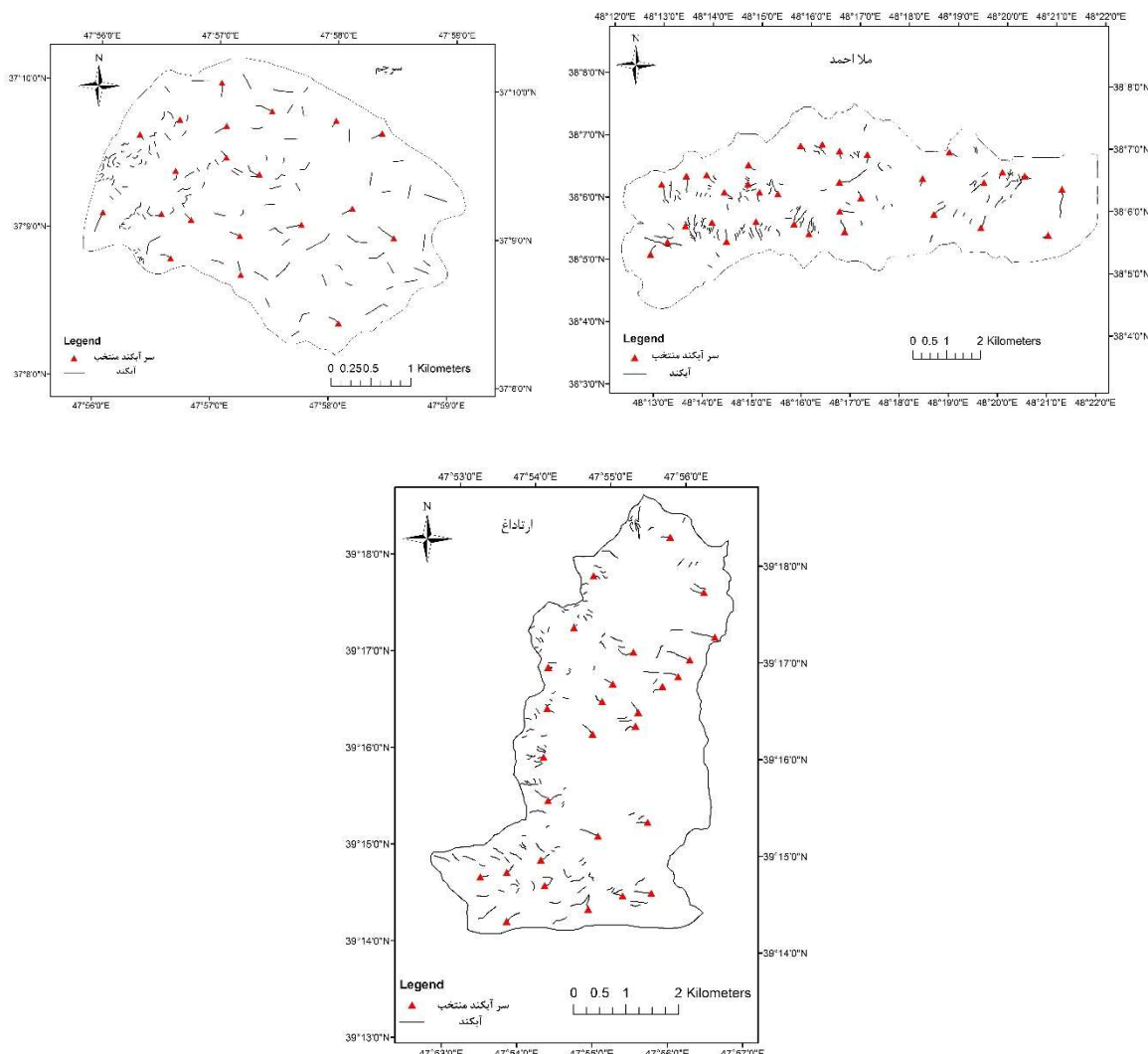
در این پژوهش، سه حوزه‌ی آبخیز در استان اردبیل – که فرسایش آبکندي در سطح آنها قابل مشاهده بود – انتخاب شد. با انتخاب سه منطقه و اصلاح مدل REGEM بر اساس اطلاعات آنها، تعیین‌پذیری مدل به سایر نقاط استان با اطمینان بیشتری قابل اجراست. در شمال استان اردبیل، حوزه‌ی آبخیزی به مساحت ۲۷۷۷ هکتار در منطقه‌ی ارتاداغ در محدوده‌ی جغرافیایی "۱۸°۴۲' تا "۱۸°۴۹' عرض شمالی و "۵۲°۴۷' تا "۵۲°۴۷' طول شرقی انتخاب شد. حوزه‌ی آبخیز دوم به مساحت ۵۰۳۸ هکتار، در مرکز استان و منطقه‌ی ملا احمد در محدوده‌ی جغرافیایی "۴۰°۵۷' تا "۳۸°۰' طول شرقی انتخاب شد. حوزه‌ی آبخیز سوم به مساحت ۱۱۰۸ هکتار نیز در جنوب استان و منطقه‌ی سرچم در محدوده‌ی جغرافیایی "۱۱°۰' تا "۱۲°۴۸' عرض شمالی و "۵۹°۰' تا "۵۴°۵۵' طول شرقی انتخاب شد. منطقه‌ی ارتاداغ، ملا احمد و سرچم براساس اطلاعات هواشناسی دوره‌ی آماری ۳۰ ساله (۱۳۹۶)، به ترتیب دارای میانگین بارش ۲۷۱، ۳۰۳ و ۳۸۴ میلی‌متر و میانگین دمای سالانه، ۱۵/۱، ۹ و ۸ درجه‌ی سانتیگراد است. همچنین هر سه منطقه با طبقه‌بندی اقلیمی دومارتن توسعه یافته، دارای اقلیم سرد نیمه خشک است. موقعیت حوزه‌های آبخیز مطالعه شده در سطح استان اردبیل و کشور، در شکل ۱ نشان داده شده‌است. مرز حوضه‌های آبخیز با استفاده از مدل رقومی ارتفاع، در نرم‌افزار Global mapper14 و آبراهه‌های اصلی در سطح حوضه، با استفاده از تصاویر Google earths تعیین شد.



شکل ۱: موقعیت حوضه‌های آبخیز مطالعه شده در سطح کشور و استان اردبیل

### ۳- مواد و روش‌ها

با بررسی تصاویر ماهواره‌ای گوگل ارث، لندست ۸ (۲۰۱۳)، عکس‌های هوایی و بازدیدهای صحرایی، توزیع آبکندها در حوضه‌های مورد نظر تعیین شد. سپس ۲۸ آبکند در آرتاداغ، ۳۳ آبکند در ملا احمد و ۲۰ آبکند در سرچم - که عمق آنها در قسمت بالا کمتر از ۵۰ سانتی‌متر بود و توزیع نسبتاً یکنواختی در سطح حوضه‌ی آبخیز داشت - انتخاب شد (در مجموع ۸۱ آبکند). علت انتخاب آبکندهای با توزیع یکنواخت در سطح حوضه‌های آبخیز این بود که توزیع داده‌ها برای درون‌یابی IDW مناسب باشد. نقشه‌ی توزیع فرسایش آبکندهای منتخب در سطح سه حوضه، در شکل ۲ نشان داده شده است. در این نقشه‌ها مسیر آبکندها با استفاده از تصاویر ماهواره‌ای Landsat 8 و Google earths (2013) و بازدید و کنترل میدانی محل آبکندها انجام شد.



شکل ۲: توزیع آبکندهای منتخب در سطح سه منطقه‌ی مورد مطالعه.

ورودی‌های موردنیاز مدل REGEM، برای برآورد ابعاد آبکند و میزان فرسایش آبکندي در جدول شماره‌ی ۱ ارائه شده‌است.

با استفاده از نقشه‌ی توپوگرافی ۱:۲۵۰۰۰، در نرم‌افزار ArcGIS10.2 مدل رقومی ارتفاع (DEM)<sup>۴</sup> (با دقت ۵ متر (پیکسل سایز مساوی ۵ متر) و نقشه‌ی شب برای محدوده‌های مورد بررسی تهیه شد. سپس با استفاده از نرم‌افزار Global mapper 14، مساحت و شب حوضه‌ی زهکشی هر آبکند تعیین شد. همچنین بر اساس اطلاعات هواشناسی هر حوضه، بارش ۲۴ ساعته و بارش ۲۴ ساعته با دوره بازگشت ۲۵ سال و تیپ بارش غالب حوضه‌ها تعیین شد. طول هر آبکند با متر نواری اندازه‌گیری و در چهار نقطه از طول هر آبکند شامل سر آبکند و فواصل ۵۰، ۷۵ و درصد طول از سر آبکند،

<sup>4</sup> Digital Elevation Model

عمق و عرض متوسط آن تعیین شد. سپس از هر نقطه‌ی خاک نمونه‌برداری شد. طول و شیب آبراهه‌ی زهکشی هر آبکند نیز به صورت میدانی تعیین شد. درصد پوشش گیاهی، سنگریزه و خاک لخت در حوضه‌ی زهکشی هر آبکند با قرار دادن ۱۰ پلاط یک متر مربعی تصادفی در امتداد یک یا دو ترانسکت، اندازه‌گیری و نمونه‌برداری خاک نیز انجام شد.

جدول ۱: ورودی‌های موردنیاز مدل‌های استفاده شده

روش اندازه‌گیری	واحد	نماد	ویژگی موردنیاز
داده‌های هواشناسی	mm	R <sub>e</sub>	میانگین بارش
بررسی صحراي پوشش سطح، کاربری زمین و تعیین آزمایشگاهی گروه هیدرولوژیکی خاک	-	CN	شماره منحنی
داده‌های هواشناسی	-	ST	نوع بارش
داده‌های هیدرولوگراف حداکثر بارش ۲۴ ساعته در دوره بازگشت ۲۵ ساله	m <sup>3</sup> Sec <sup>-1</sup>	Q <sub>p</sub>	حداکثر دبی سیلاب
داده‌های هواشناسی حداکثر بارش ۲۴ ساعته در دوره بازگشت ۲۵ ساله	m <sup>3</sup>	V <sub>r</sub>	حجم رواناب
بازدید صحراي (بدون شخم، تازه شخم خورده، پوشش گیاهی دائمی در سطح خاک)	-	SC <sub>x</sub>	شرایط سطح خاک
تعیین مقاومت برشی خاک و استفاده از رابطه رگرسیونی مدل	Nm <sup>-2</sup>	$\tau_c$	عامل تنش برشی مدل
تعیین مقاومت برشی خاک و استفاده از رابطه رگرسیونی مدل	Cm <sup>3</sup> N <sup>-1</sup> Sec <sup>-1</sup>	K <sub>d</sub>	ضریب فرسایش بذری مدل
با استفاده از مدل رقومی ارتفاع DEM	%	S	شیب حوضه زهکشی آبکندها
عملیات صحراي	mm <sup>-1</sup>	S <sub>g</sub>	شیب آبراهه آبکند
عملیات صحراي و تعیین نوع پوشش درون آبراهه و حوضه آبکندها	-	n	ضریب زبری مانینگ
عملیات صحراي	m	d <sub>t</sub>	عمق شخم
با استفاده از مدل رقومی ارتفاع DEM	ha	A <sub>d</sub>	مساحت حوضه زهکشی آبکند
هیدرومتری با قرائت ۴ زمانه	%	-	درصد شن، سیلت و رس
الک تر	%	-	خاکدانه‌های درشت و کوچک
نمونه‌برداری با سیلندر	Mg m <sup>-3</sup>	BD	جرم مخصوص ظاهری

مقاومت برشی نزدیک اشاع خاک در هر نقطه از طول و ۱۰ نقطه از حوضه‌ی زهکشی آبکندها، با استفاده از ابزار پره برشی (مدل گیلسون TO175) به صورت صحراي تعیین شد (Hafezi Moghaddas, 2011). با استفاده از نمونه‌های خاک برداشته شده، جرم مخصوص ظاهری به روش استوانه‌ی دست نخورده، جرم مخصوص حقیقی به روش پیکنومتر، بافت خاک به روش قرائت ۴ زمانه و کربن آلی به روش والکلی - بلک (Page et al, 1982)، شاخص فرسایش‌پذیری خاک (Wischmeier and Smith, 1978) و میانگین وزنی قطر خاکدانه‌ها نیز به روش الک تر (Kemper and Rosenau, 1986) تعیین شد. همچنین سرعت نهایی نفوذ آب و گروه هیدرولوژیک خاک در سه نقطه از حوضه از حوضه زهکشی در هر یک از آبکندهای مورد نظر، به روش تک استوانه تعیین شد (Reynolds et al, 2002). شماره منحنی (CN) حوضه‌ی هر آبکند که بیانگر شدت تولید رواناب در حوضه است، با استفاده از میانگین درصد پوشش سطح و گروه هیدرولوژیک خاک حوضه‌ی زهکشی آبکندها تعیین شد (Rafahi, 2006). با داشتن نسبت تولید رواناب حوزه‌ی هر آبکند بر اساس CN، مقدار بارش در هر واقعه‌ی بارشی و مساحت حوضه‌ی زهکشی هر آبکند، دبی پیک و حجم

رواناب ورودی به سر آبکندها در هر واقعه‌ی بارش محاسبه شد (Alonso et al, 2002). همچنین با بازدید صحرایی و استفاده از تصاویر ماهواره‌ای لنست ۸ (۲۰۱۳)، نوع پوشش گیاهی و کاربری حوضه‌ی زهکشی و کanal هر آبکند تعیین و با استفاده از آن، ضریب زبری مانینگ حوضه‌ها نیز مشخص شد (Rafahi, 2006). به این ترتیب، تمام عوامل ورودی مدل REGEM برای برآورد ابعاد آبکندها به دست آمد و با استفاده از روابط موجود، هر یک از اجزای مدل محاسبه شد. در جدول شماره‌ی ۲، روابط مربوط به محاسبه‌ی جزء هیدرولوژیکی، جزء فرسایشی و برآورد ابعاد آبکندها با استفاده از دو مدل REGEM و AREGEM برای مناطق مورد مطالعه ارائه شده است. این روابط با استفاده از برقراری رگرسیون بین مقادیر اندازه‌گیری شده‌ی صحرایی و عوامل مؤثر بر هر جزء مدل به دست آمد. سپس در نهایت با ترکیب و اصلاح روابط، به بهترین رابطه برای برآورد خروجی‌های مدل دست یافته (Tekwa et al, 2015). به منظور کالیبره کردن خروجی‌های مدل با داده‌های صحرایی، بهترین روابط رگرسیونی بین ورودی و خروجی‌های مدل که دارای بیشترین  $R^2$  و کمترین RMSE بودند، انتخاب شد (Shahab et al, 2016).

جدول ۲: اجزای مدل REGEM و AREGEM

اجزای مدل	روابط مدل AREGEM	روابط مدل REGEM	عوامل مدل	اجزای مدل
زمان پایه هیدرولوگراف واحد $t_b$	-	$t_b = \frac{2V_b}{Q_p}$	زمان پایه هیدرولوگراف	
دبی حداکثر ورودی به آبکند $Q_p$	-	$V_b = \int_{t=0}^{t=t_b} Q dt$	حجم کل رواناب ورودی آبکند	جزء
دبی میانگین رواناب ورودی $Q$	-	$Q = \left(\frac{t}{t_p}\right)Q_p$	دبی حداکثر ورودی به آبکند	هیدرولوژیکی
دبی در لحظه‌ی $t$ زمان اوج هیدرولوگراف $t_p$				
عامل تنش برشی مدل با واحد $Kg cm^{-2}$	$\tau_c = 0.259 \times 10^{(0.022SS)} = 0.311 \times 10^{(0.0182SS)}$	عامل تنش برشی مدل		جزء فرسایشی
<hr/>				
عوامل فرسایش خاک مدل				
عمق متوسط آبکند $D_e$ جرم مخصوص ظاهری خاک بر حسب $d_s gr cm^{-3}$	$D_e = \frac{Kk_d \cdot 0.9 \rho_s}{\rho \cdot d_s}$	$D_e = \frac{Kk_d \cdot \rho_s}{\rho \cdot d_s}$	عرض متوسط آبکند	خروچی‌های مدل
میانگین ذرات خاک (شن، سیلت و رس) با واحد $mm$ و $K$ عامل فرسایش پذیری معادله‌ی جهانی فرسایش خاک، $A_d$ مساحت حوضه‌ی زهکشی آبکند	$W = 1.89Q^{0.6}$	$W = 2.51Q^{0.412}$	حداکثر طول آبکند	
<hr/>				
با داشتن اطلاعات بارش و نسبت تولید رواناب حوضه‌ی هر آبکند بر اساس CN و با استفاده از روابط ارائه شده در جدول شماره‌ی ۲، جزء هیدرولوژیکی مدل محاسبه شد. همچنین بر اساس روابط رگرسیونی موجود بین ابعاد آبکند و				

ویژگی‌های خاک، عوامل جزء فرسایشی مدل شامل تنش برشی و فرسایش خاک در هر گام زمانی با استفاده از روابط مربوط در جدول شماره‌ی ۲ محاسبه شد (Nachtergael et al, 2001a) و در نهایت با ترکیب دو جزء مدل و با استفاده از روابط خروجی‌های آن، ابعاد آبکندها در جدول شماره‌ی ۲ برآورده شد (Tekwa et al, 2015). حداکثر طول، عمق متوسط و میانگین عرض آبکندها به عنوان خروجی مدل REGEM، با استفاده از مجموعه ویژگی‌های تعیین شده به دست آمد و با استفاده از آنها حجم آبکندها برآورده شد. همچنین بر اساس همین روش و برقراری رگرسیون بین مقادیر واقعی مشاهده شده‌ی طول، عمق متوسط و میانگین عرض آبکندها در سه منطقه‌ی مورد مطالعه و ویژگی‌های اندازه‌گیری شده‌ی خاک و حوضه‌ی زهکشی آبکندهای مورد مطالعه (Nachtergael et al, 2002)، روابط مربوط به برآورد جزء فرسایش و ابعاد آبکندها اصلاح و به عنوان روابط مدل AREGEM در جدول ۲ ارائه شد. برای انتخاب بهترین روابط رگرسیونی، از دو شاخص آماری  $R^2$  و RMSE استفاده شد و در نهایت با استفاده از روابط دو مدل REGEM و AREGEM، عامل تنش برشی ( $\tau$ )، فرسایش خاک ( $K_d$ ) و حجم آبکندها ( $V$ ) به عنوان خروجی‌های مدل، برای آبکندهای مورد نظر در سه حوضه‌ی آبخیز برآورده شد. سپس توزیع این سه خروجی مدل در سطح حوضه‌های آبخیز با استفاده از درون‌یابی IDW در نرم‌افزار ArcGIS10.2 صورت گرفت و سطح منطقه، به چهار سطح شدت فرسایش تقسیم شد. در این پژوهش، هدف بررسی کارایی مدل‌ها در تعیین توزیع حجم آبکندها بود؛ از این‌رو، از اندازه‌گیری صحرایی حجم آبکند برای مدل‌سازی و از برآورد حجم از روی مدل به منظور تعیین توزیع حجم آبکند استفاده شد. بنابراین در هر منطقه برای هر کدام از خروجی‌های مدل، دو نقشه‌ی پهنه‌بندی شدت فرسایش آبکندي براساس مدل REGEM و AREGEM ارائه شد. توضیح این امر لازم است که فرسایش آبکندي معمولاً در آبکندهای کوچک فعال می‌باشد و آبکندهای بزرگ به صورت آبراهه‌های نسبتاً ثابت شده‌است (Valentin et al, 2005)؛ بنابراین، برآوردهای به دست آمده توسط مدل‌های مورد بررسی که برای آبکندهای کوچک هستند، می‌تواند به عنوان شاخص مناسبی از فرسایش آبکندي حوضه‌های مورد نظر باشد. در نهایت برای مقایسه‌ی دو مدل از نظر تشخیص بهتر پهنه‌های فرسایش آبکندي در دو نقشه‌ی پهنه‌بندی به دست آمده، دو شاخص نسبت تراکمی (Dr) و مجموع کیفیت (Qs) – که به صورت روابط ۱ و ۲ تعریف می‌شوند – تعیین و با یکدیگر مقایسه شد (Yalcin, 2008) :

$$Dr = \frac{(L_i / A_i)}{\left( \sum_{i=1}^n L_i / \sum_{i=1}^n A_i \right)}$$

رابطه‌ی ۱

در این رابطه، Dr نسبت تراکمی طبقه فرسایشی  $A_m$ ،  $L_i$  طول آبکندها در طبقه  $A_m$ ،  $A_i$  مساحت طبقه  $A_m$  و  $n$  تعداد طبقات است. هر چه Dr یک طبقه فرسایشی بیشتر باشد، بیانگر تراکم آبکند بیشتر در آن طبقه نسبت به تراکم متوسط منطقه است؛ بنابراین، هر چه پهنه‌بندی دقیق‌تر باشد با افزایش خطر فرسایش آبکندي در پهنه‌های تفکیک شده (از پهنه‌ی کم تا خیلی زیاد)، مقدار Dr افزایش می‌یابد (Motevalli and Esmaili, 2013).

$$QS = \sum_{i=1}^{i=n} ((Dr_i - 1)^2 \times S_i)$$

رابطه‌ی ۲

در این رابطه، QS شاخص مجموع کیفیت طبقه‌بندی، Dr<sub>i</sub> نسبت تراکم طبقه آام و S<sub>i</sub> نسبت مساحت طبقه آ به مساحت کل منطقه است. هر چه مقدار QS بیشتر باشد، دقت پهنه‌بندی بیشتری را نشان می‌دهد و اختلاف کمتر از ۰/۱ در این شاخص بین دو نقشه، دقت تقریباً مشابهی را نشان می‌دهد (Yalcin, 2008).

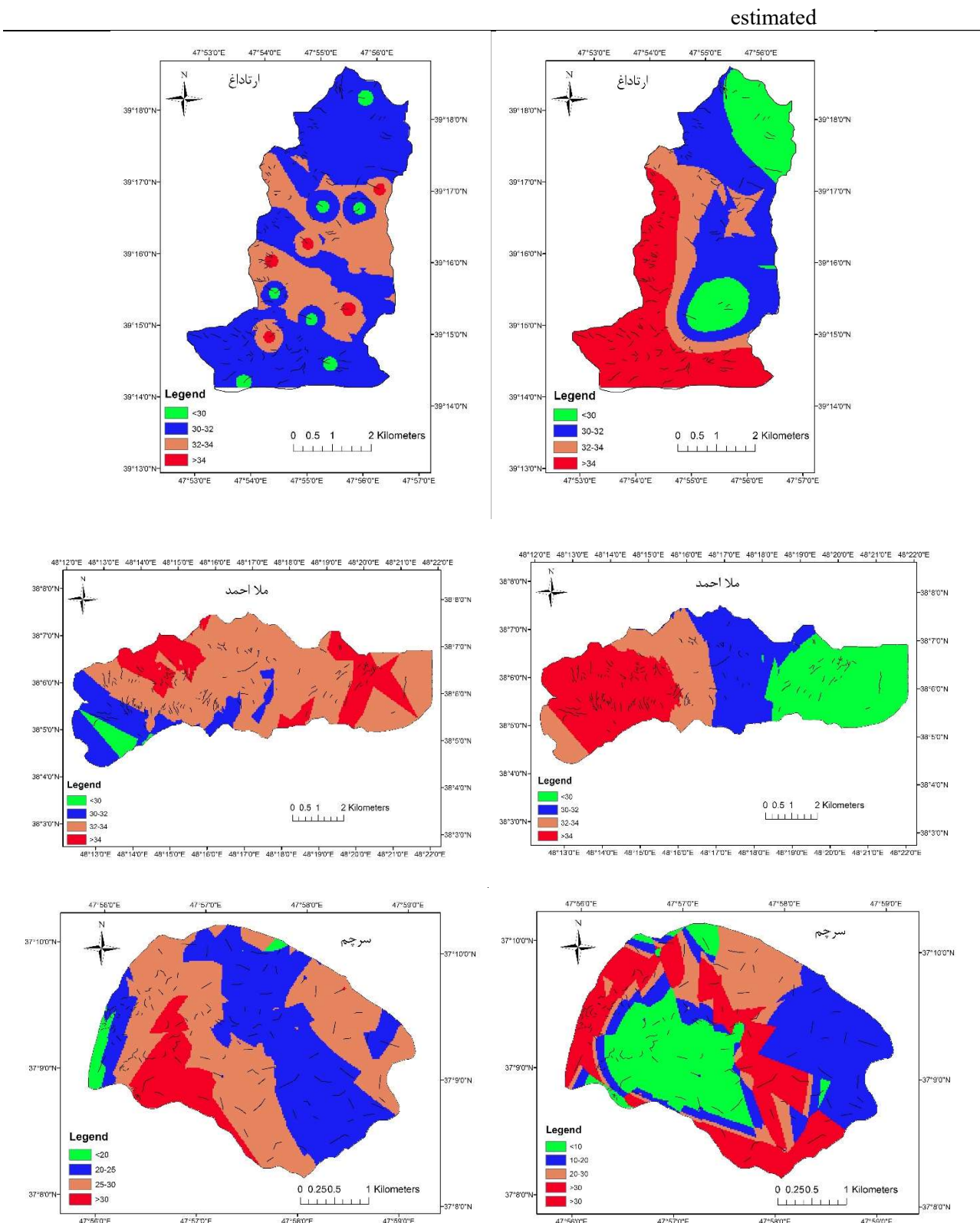
#### ۴- نتایج و بحث

با تعیین آبکندهای موجود در سطح سه حوزه‌ی آبخیز مورد بررسی با استفاده از تصاویر ماهواره‌ای و بازدید صحرایی (شکل ۲)، میانگین تراکم آبکندها در منطقه‌ی ارتاداغ Km/Km<sup>2</sup>، در ملااحمد ۰/۷۴ Km/Km<sup>2</sup> و در سرچم ۰/۴ Km/Km<sup>2</sup> به دست آمد.

در جدول ۳، مقادیر میانگین و دامنه تغییرات خروجی‌های به دست آمده از دو مدل AREGEM و REGEM برای آبکندهای منتخب ارائه شده‌است. همان گونه که مشاهده می‌شود به طور کلی مقدار خروجی‌های به دست آمده از دو مدل در هر سه منطقه‌ی مورد مطالعه، اختلاف قابل توجهی با یکدیگر ندارد. با این وجود، توزیع برآوردهای به دست آمده توسط این دو مدل در سطح مناطق متفاوت است؛ بنابراین، با مقایسه‌ی نقشه‌ی توزیع خروجی‌های آن می‌توان به مدل مناسب‌تری برای برآورد فرسايش آبکندي دست یافت (Daggupati et al, 2014).

جدول ۳: میانگین و دامنه تغییرات خروجی‌های به دست آمده از مدل‌های مورد مطالعه.

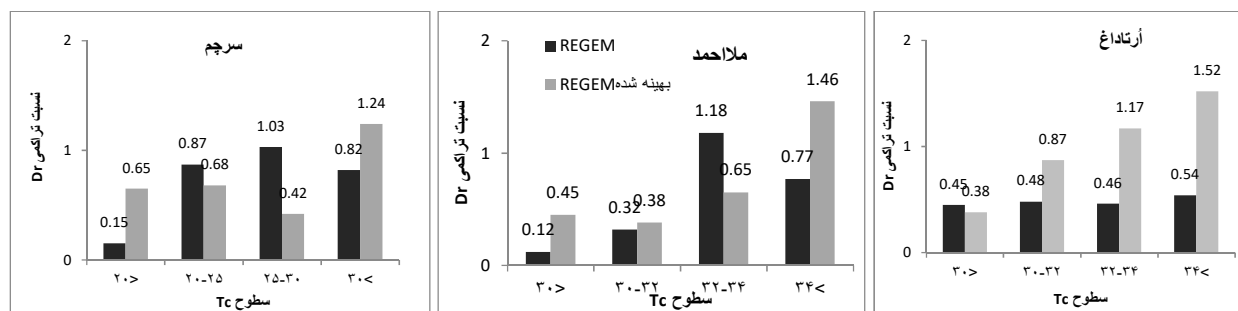
سرچم		ملااحمد			ارتاداغ			نوع مدل
Sarcham	Mulla Ahmad	Ordadagh	Mean	Range	Mean	Range	Mean	
میانگین دامنه تغییرات	میانگین دامنه تغییرات	میانگین دامنه تغییرات	۰/۷۴	۰/۷۱-۰/۲۵	۰/۲۲	۰/۲۸-۰/۳۶	۰/۳۱	REGEM
Range	Mean	Range	Mean	Range	Mean	Range	Mean	
۰/۵-۰/۱۸-۰/۲۲	۰/۸-۰/۲۴	۰/۱-۰/۳۵-۰/۲۵	۰/۲-۰/۳۲	۰/۲-۰/۳۶-۰/۳۶	۰/۵-۰/۳۱	۰/۶-۰/۲۸-۰/۳۶	۰/۵-۰/۳۱-۰/۳۶	
۰/۱-۰/۵-۰/۵-۰/۷۸	۰/۱-۰/۶۹	۰/۱-۰/۷۵-۰/۷۵	۰/۳-۰/۶۳	۰/۲-۰/۷۴-۰/۷۶	۰/۱-۰/۶۲	۰/۲-۰/۶۲-۰/۷۶	۰/۱-۰/۶۲-۰/۷۶	
۰/۳-۰/۳-۰/۳-۰/۲۵	۰/۳-۰/۱۶	۰/۱-۰/۲۶-۰/۲۶	۰/۲-۰/۱۷	۰/۵-۰/۲۳-۰/۲۳	۰/۵-۰/۱۵	۰/۵-۰/۱۵-۰/۲۳	۰/۱-۰/۱۵-۰/۲۳	
۰/۱-۰/۱-۰/۱-۰/۳۳	۰/۶-۰/۲۰	۰/۱-۰/۳۶-۰/۳۶	۰/۳-۰/۳۳	۰/۲-۰/۳۵-۰/۳۵	۰/۲-۰/۳۲	۰/۲-۰/۳۲-۰/۳۵	۰/۱-۰/۳۲-۰/۳۵	
۰/۱-۰/۱-۰/۱-۰/۷۹	۰/۱-۰/۷۰	۰/۳-۰/۷۶-۰/۷۶	۰/۲-۰/۶۴	۰/۱-۰/۷۴-۰/۷۴	۰/۱-۰/۶۲	۰/۱-۰/۶۲-۰/۷۴	۰/۱-۰/۶۲-۰/۷۴	AREGEM
۰/۴-۰/۱-۰/۱-۰/۲۶	۰/۸-۰/۱۶	۰/۸-۰/۲۵-۰/۲۵	۰/۸-۰/۱۷	۰/۸-۰/۲۴-۰/۲۴	۰/۸-۰/۱۶	۰/۸-۰/۱۶-۰/۲۴	۰/۸-۰/۱۶-۰/۲۴	
۰/۱-۰/۱-۰/۱-۰/۲۶	۰/۸-۰/۱۶	۰/۸-۰/۲۵-۰/۲۵	۰/۸-۰/۱۷	۰/۸-۰/۲۴-۰/۲۴	۰/۸-۰/۱۶	۰/۸-۰/۱۶-۰/۲۴	۰/۸-۰/۱۶-۰/۲۴	



شکل ۳: عامل  $\tau_c$  و راست REGEM مدل چپ برآورد

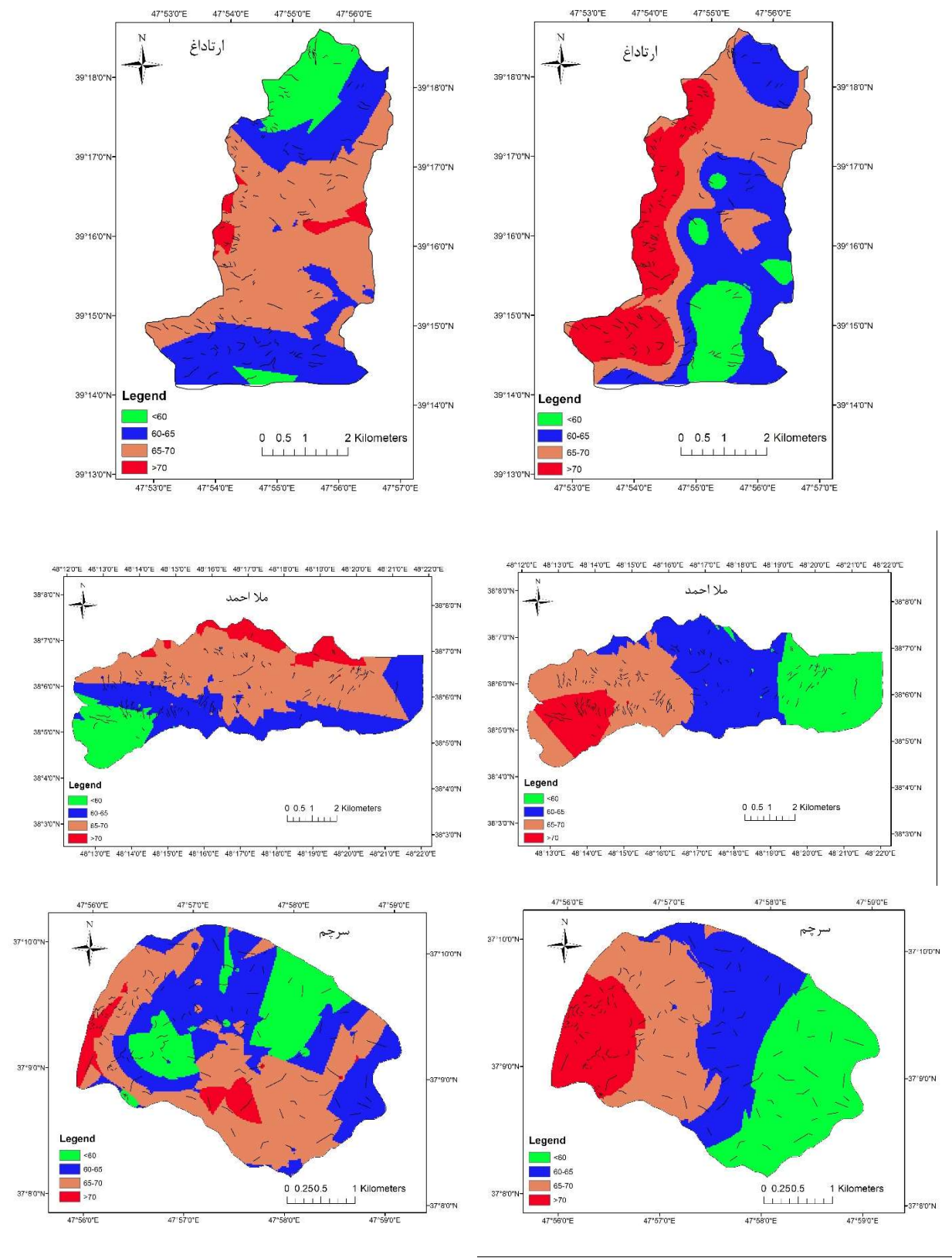
در شکل ۳، توزیع عامل تنفسی بر پوشی ( $\zeta$ ) در سطح سه منطقه با استفاده از دو مدل AREGEM و REGEM ارائه شده است. عامل تنفسی بر پوشی مدل، شدت حساسیت خاک به کنده شدن و فرسایش آبکندی را نشان می‌دهد و بین مقدار این عامل و فرسایش آبکندی ارتباط مستقیم وجود دارد؛ بنابراین، انتظار می‌رود در نقاطی که مقدار آن بالا باشد، تراکم آبکندها نیز افزایش نشان دهد (Alonso et al, 2002).

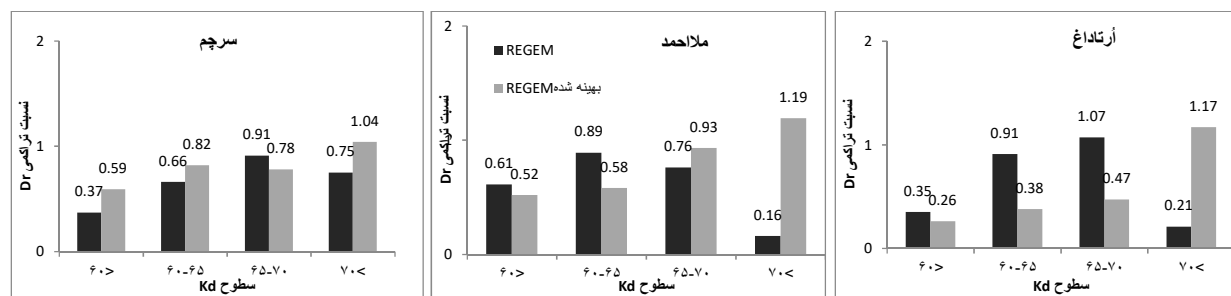
با بررسی ظاهری نقشه‌های شکل ۳ مشاهده می‌شود که در منطقه‌ی ارتاداغ با استفاده از مدل REGEM، مقادیر بیشتری از عامل  $\zeta$  در قسمت‌های مرکزی حوضه تعیین شده؛ در حالی که تراکم بیشتر آبکندها در قسمت غربی و جنوبی حوضه است و با برآورده مدل AREGEM انتظامی بیشتری دارد. در منطقه‌ی ملااحمد نیز میزان فرسایش آبکندی در غرب حوضه بیشتر است و مدل AREGEM، عامل  $\zeta$  بیشتری را در این قسمت برآورد کرده است؛ بنابراین، در این منطقه نیز کارایی مدل اصلاح شده بالاتر به نظر می‌رسد. در منطقه‌ی سرچم، توزیع آبکندها در سطح حوضه تقریباً یکنواخت است و برآورده عامل  $\zeta$  در این منطقه با هر دو مدل مورد بررسی انتظامی قابل قبولی با وضعیت فرسایش منطقه دارد. به منظور مقایسه دقیق‌تر نقشه‌ی خروجی‌های دو مدل، از شاخص نیمه کمی نسبت تراکمی (Dr) استفاده شد (Yalcin, 2008). در شکل ۴، شاخص Dr طبقات شدت عامل  $\zeta$  برای سه منطقه ارائه شده است. مشاهده می‌شود که در منطقه‌ی ارتاداغ و ملااحمد در مدل AREGEM نیز با افزایش  $\zeta$ ، Dr به طور مرتب افزایش می‌یابد؛ در حالی که در مدل REGEM روند منظمی وجود ندارد. این امر نشان می‌دهد با استفاده از مدل AREGEM، مقادیر بیشتر  $\zeta$  در نقاط با تراکم بیشتر آبکند برآورده شده است؛ بنابراین، مدل AREGEM در تشخیص توزیع فرسایش آبکندی کارایی بیشتری داشت. در منطقه‌ی سرچم، روند تغییرات  $\zeta$  با Dr در هر دو مدل منظم نیست و می‌توان گفت که دو مدل در تعیین توزیع فرسایش آبکندی بر اساس عامل  $\zeta$ ، کارایی مشابهی داشتند. Gordon و همکاران (2006) نیز از مدل REGEM برای برآورده فرسایش آبکندی به عنوان جزئی از مدل AnnAGNPS استفاده کردند. این امر به منظور برآورده کل فرسایش حوضه‌های آبخیز کشاورزی صورت گرفت. آنها مشاهده کردند که برای برآورده دقیق‌تر فرسایش آبکندی، به اصلاح و اعتبارسنجی بیشتر این مدل نیازمندند. Tekwa et al, 2015 و همکاران (Tekwa et al, 2015) نیز با به کار بردن EGEM نشان دادند که برای برآورده دقیق‌تر فرسایش آبکندی با این مدل، لازم است روابط جزء فرسایش خاک آن اصلاح شود. به طور کلی مشاهده می‌شود که بین برآورده به دست آمده با دو مدل، تفاوت نسبتاً زیادی وجود دارد و علت این امر، استفاده از روابط اصلاح شده در مدل AREGEM است که نسبت به روابط مدل REGEM دقت بالاتری دارد.

شکل ۴: شاخص نسبت تراکم (Dr) عامل  $\tau_c$ 

در شکل ۵، توزیع عامل فرسایش خاک ( $k_d$ ) در سطح سه منطقه برای دو مدل REGEM و AREGEM ارائه شده است. در شکل ۶ نیز شاخص نسبت تراکمی (Dr) طبقات عامل  $k_d$  برای سه منطقه ارائه شده است. در این مورد نیز آفرایش مقدار  $k_d$  به معنی افزایش حساسیت به فرسایش آبکندی است و انتظار می‌رود تراکم آبکند بیشتر باشد (Alonso et al, 2002).

به صورت بصری مشاهده می‌شود که در منطقه‌ی آرتاداغ با استفاده از مدل REGEM مقادیر زیاد عامل  $k_d$  در قسمت‌های محدودی از حوضه تعیین شد، ولی مدل AREGEM با تراکم بیشتر آبکندها در قسمت غربی و جنوبی حوضه انطباق بیشتری دارد. در منطقه‌ی ملاحمد و سرچم نیز مدل اصلاح شده AREGEM با تراکم واقعی آبکندها در سطح منطقه انطباق بهتری دارد. بررسی شاخص نسبت تراکمی (شکل ۶) برای هر سه منطقه مورد مطالعه نیز نشان می‌دهد که روند افزایشی Dr با افزایش طبقات شاخص  $k_d$  در مدل REGEM بیش از مدل AREGEM است که کارایی بیشتر مدل اصلاح شده را نشان می‌دهد. بنابراین مشاهده می‌شود وقتی روابط رگرسیونی دو خروجی اصلی – که جزء فرسایش خاک مدل است ( $k_d$  و  $\tau_c$ ) – متناسب با شرایط منطقه‌ی مطالعه اصلاح شد، پیش‌بینی توزیع فرسایش آبکندی در سطح منطقه دقیق‌تر می‌شود. Daggupati و همکاران (2014) نیز بر ضرورت اصلاح روابط رگرسیونی مدل‌ها برای برآورد دقیق‌تر فرسایش آبکندی در محیط GIS اشاره کردند.

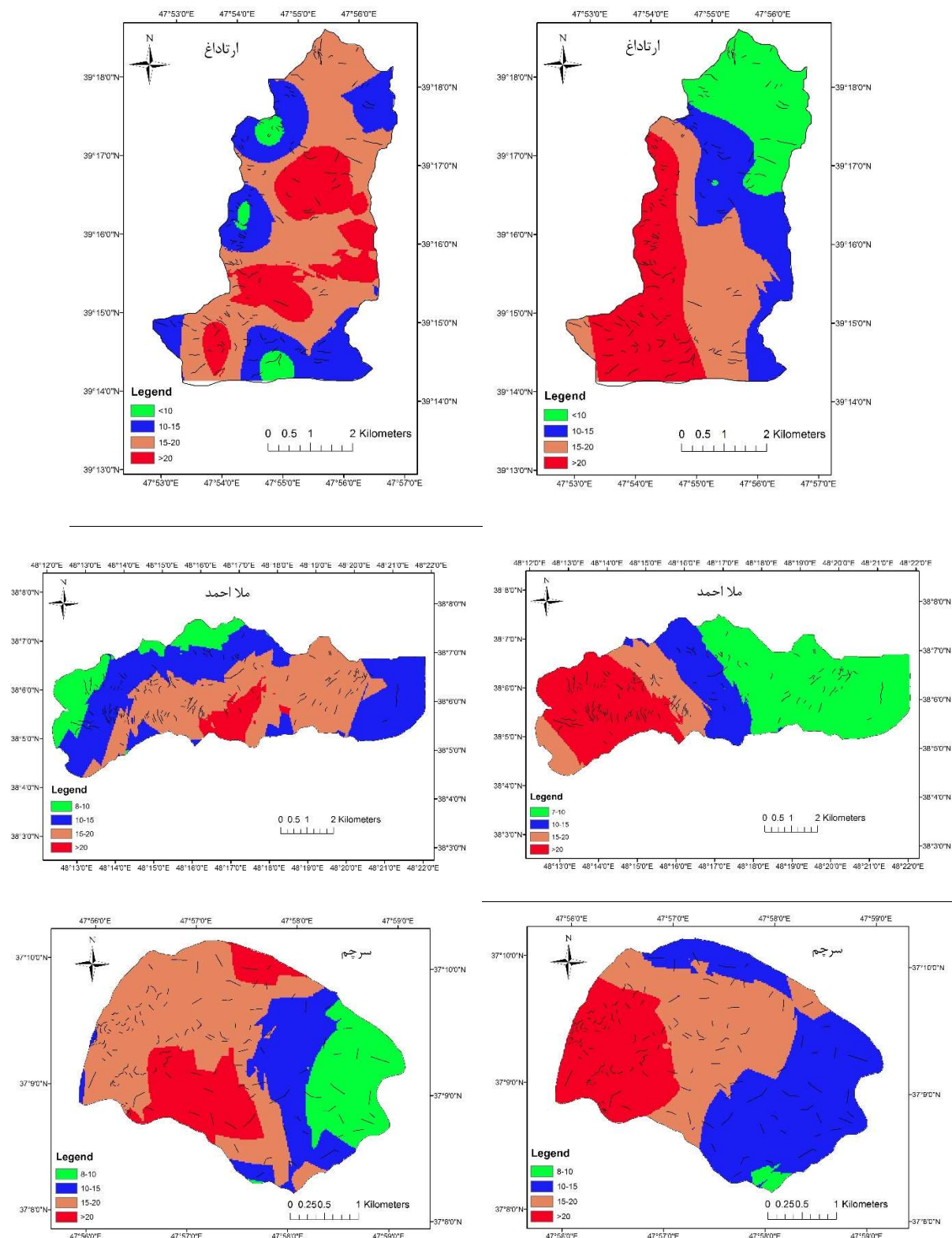
. شکل ۵: عامل  $K_d$  مدل REGEM و راست AREGEM.



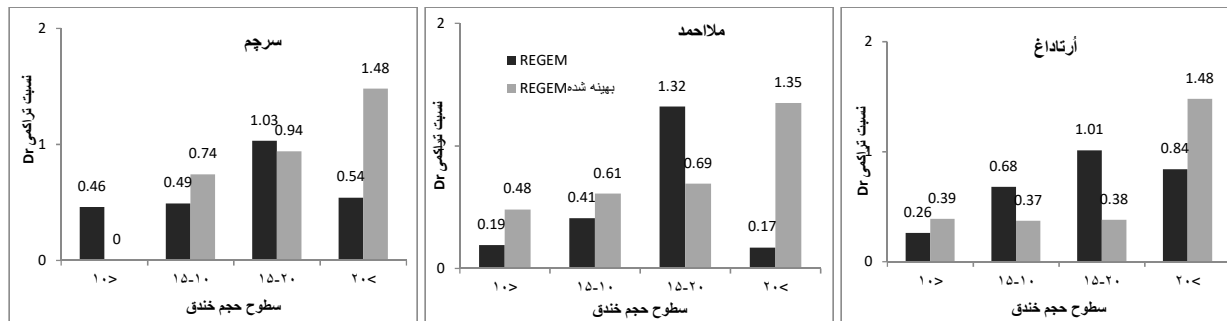
شکل ۸: شاخص نسبت تراکم (Dr) عامل Kd

در شکل ۷، طبقات حجم فرسایش آبکنندی برآورده شده با دو مدل AREGEM و REGEM در سطح سه منطقه ارائه شده است. در شکل ۸ نیز شاخص نسبت تراکمی (Dr) طبقات فرسایش برای سه منطقه ارائه شده است.

به صورت ظاهری مشاهده می‌شود که در هر سه منطقه، طبقات حجم فرسایش برآورده شده با مدل AREGEM با تراکم آبکندها در سطح حوضه‌ها انطباق بهتری دارد؛ این در حالی است که برآوردهای مدل پایه REGEM در هر سه منطقه، توزیع آبکندها را به خوبی پیش‌بینی نکرده است. بررسی شاخص نسبت تراکمی (شکل ۸) نیز نشان می‌دهد که در هر سه منطقه، مدل AREGEM روند افزایشی Dr با افزایش طبقات، شدت فرسایش پیش‌بینی شده را نشان می‌دهد؛ در حالی که مدل REGEM تنها در منطقه سرچم، روند افزایش نسبی داشت. بنابراین، مدل AREGEM برای برآورد میزان فرسایش در هر سه منطقه کارایی دارد، ولی مدل REGEM تنها در منطقه سرچم کارایی نسبی دارد. Nachtergael و همکاران (Nachtergael et al, 2001b) نیز با استفاده از مدل REGEM، رابطه‌ی خوبی را بین حجم اندازه‌گیری شده و برآورده شده آبکنده مشاهده کردند ( $r^2 = 0.88$ )؛ در حالی که رابطه‌ی بین سطح مقطع اندازه‌گیری شده و برآورده شده آبکنده ضعیف بود ( $r^2 = 0.27$ ). Tekwa et al, 2015 و همکاران (Tekwa et al, 2015) نیز برای برآورده ابعاد آبکنده نزدیک به مقدار اندازه‌گیری شده، مدل EGEM را اصلاح و روابط Adapted EGEM را به کار برdenد.



شکل ۷: برآورد حجم فرسایش آبکندهی. شکل چه مدل REGEM و راست AREGEM



شکل ۸: شاخص نسبت تراکم (Dr) عامل برآورد حجم فرسایش آبکندی.

ذکر این امر لازم است که مقایسه‌ی بصری نقشه‌های خروجی، دو مدل روشی کیفی است و استفاده از شاخص Dr نیز روشی نیمه کمی است و صرفاً وجود روند صعودی در این شاخص به تهایی نمی‌تواند بیانگر مطلوبیت مدل باشد. همچنین هر دو این روش‌ها به تشخیص فردی بستگی دارد؛ از این رو، مقایسه‌ی دقت مدل‌ها در تعیین پراکندگی خروجی‌هایی به دست آمده تنها با این دو روش می‌تواند مبهم و متناسب با تشخیص افراد تغییر کند (Qilin et al, 2011). بنابراین به منظور تشخیص دقیق‌تر، از شاخص کمی مجموع کیفیت (Qs) استفاده شد که بیشتر بودن این شاخص به معنی انطباق بیشتر طبقات فرسایشی با شرایط واقعی است (Yalcin, 2008). در جدول ۴، شاخص Qs نقشه‌هایی به دست آمده برای سه خروجی مورد نظر مدل‌ها ارائه و با یکدیگر مقایسه شد.

جدول ۴: شاخص مجموع کیفیت Qs طبقات فرسایش آبکندی خروجی‌های مدل‌ها

شاخص مجموع کیفیت (Qs)				
سرچم	ملاهم	ارتاداغ	مدل	خروچی مدل
۱/۰۱	۱/۱۵	۱/۶۲	AREGEM	$\tau_c$
	۰/۸۴	۰/۶۲	REGEM	
۱/۰۵	۱/۴۱	۱/۵۷	AREGEM	$K_d$
	۰/۷۲	۰/۷۵	REGEM	
۱/۲۱	۱/۷۱	۲/۱۵	AREGEM	برآورد حجم آبکند
	۰/۶۶	۰/۷۷	REGEM	

به طور کلی مشاهده می‌شود که در هر سه منطقه‌ی Qs، مدل AREGEM برای هر سه خروجی بیش از مدل REGEM است؛ بنابراین، مدل اصلاح شده در تعیین توزیع فرسایش آبکندی مناطق مورد مطالعه از کارایی بیشتری برخوردار است که این نتایج با نتایج بررسی بصری و شاخص Dr نیز انطباق دارد. Taguas et al, (Taguas و همکاران 2012) با مقایسه‌ی کارایی مدل REGEM در دو شرایط مرتعی و اراضی شخم خورده نشان داد که این مدل در شرایط مرتعی، ۴۶٪ رسوب تولیدی حاصل را از فرسایش آبکندی تشخیص داد؛ در حالی که در شرایط شخم خورده، این مقدار ۱۹٪ بود. بنابراین، این مدل کارایی لازم را برای پیش‌بینی شدت فرسایش آبکندی در شرایط شخم خورده نداشت و نیازمند اصلاح بود. Nachtergaele و همکاران (Nachtergaele et al, 2001b) بیان کردند که طول آبکند، پارامتر کلیدی در

پیش‌بینی حجم آبکند به شمار می‌رود و برقراری روابط دقیق برای برآورد حجم آبکند، به اصلاح مدل با توجه به شرایط منطقه نیاز دارد.

با مقایسه‌ی بین سه منطقه مشاهده می‌شود که شاخص  $Q_s$  هر سه خروجی، در منطقه‌ی اُرتاداغ بیش از دو منطقه‌ی دیگر است؛ بنابراین، مدل AREGEM در تعیین توزیع عوامل فرسایش آبکندی در این منطقه، کارایی بیشتری دارد. این در حالی است که در منطقه‌ی سرچم، کمترین  $Q_s$  برای هر سه خروجی حاصل شد. اختلاف  $Q_s$  بین دو مدل نیز در این منطقه کمتر از دو منطقه‌ی دیگر است. این امر نشان می‌دهد هر چند کارایی مدل AREGEM در منطقه‌ی سرچم نیز Gordon مانند دو منطقه‌ی دیگر بیشتر است، ولی اختلاف دقت دو مدل در تعیین توزیع فرسایش آبکندی کمتر می‌باشد. و همکاران (Gordon et al, 2006) نیز با کاربرد مدل REGEM در مناطق زراعی بیان کردند که این مدل می‌تواند فرسایش حاصل از آبکندهای وقت را پیش‌بینی و جریان رسوب بین آبکندها و تولید رسوب در جای آنها را در ۵ کلاس اندازه ذرات خاک برآورد کند. در حالی که Nachtergael et al, 2001b و همکاران (Nachtergael et al, 2001b) نشان دادند که مدل REGEM توانایی لازم را برای پیش‌بینی شدت فرسایش آبکندی در منطقه‌ی مدیترانه‌ای ندارد و نیازمند اصلاح است.

مقایسه‌ی سه خروجی مدل‌ها نیز نشان می‌دهد که  $Q_s$  برآورد حجم آبکند بیش از دو عامل دیگر است؛ بنابراین، برآورد این خروجی با استفاده از مدل‌های مورد نظر از دقت بیشتری در تعیین توزیع شدت فرسایش آبکندی برخوردار است. Daggupati و همکاران (Daggupati et al, 2014)، مدلی فرآیندی را در محیط GIS براساس جریان سطحی، زبری سطح، تنش برشی بحرانی خاک و مساحت حوضه‌ی زهکشی آبکندها ایجاد کردند. در این مدل نیز همانند مدل REGEM، از دو جزء هیدرولوژیک و فرسایش خاک استفاده شد. مقایسه‌ی این مدل با مدل‌های موجود نشان داد که خطای برآورد حجم فرسایش مدل تولید شده، کمتر از ۴۰ درصد بود و نسبت به مدل‌های موجود توانایی بهتری داشت. در عین حال بیان شده که استفاده از این مدل، نیازمند آزمایش‌های بیشتر در شرایط مختلف است (Daggupati et al, 2014). بنابراین تاثییر این مطالعه نشان می‌دهد برآورد حجم آبکند بهترین خروجی مدل است که می‌توان از آن به منظور تعیین توزیع فرسایش آبکندی در سطح منطقه و شناسایی نقاط دارای شدت بیشتر فرسایش استفاده کرد.

## ۵- نتیجه‌گیری

به طور کلی می‌توان نتیجه گرفت که استفاده از مدل پایه REGEM برای برآورد توزیع شدت فرسایش آبکندی کافی نیست و نیاز است این مدل با توجه به شرایط منطقه‌ی مورد مطالعه اصلاح و به کار برده شود. همچنین مشاهده شد از بین سه خروجی به دست آمده از مدل شامل تنش برشی جریان ( $\sigma_z$ )، شاخص فرسایش خاک مدل ( $K_d$ ) و برآورد حجم آبکندها، استفاده از حجم آبکندها در تعیین دقیق‌تر توزیع فرسایش آبکندی کارایی بیشتری دارد. همچنین مشاهده شد که مدل اصلاح شده AREGEM بیشترین کارایی را برای تعیین توزیع فرسایش آبکندی در منطقه‌ی اُرتاداغ داشت و پس از آن به ترتیب در ملاحتمد و سرچم کارایی مناسب را نشان داد.

## منابع

1. Alonso, C. V.; Bennett, S.; & O. R. Stein, 2002. Predicting head cut erosion and migration in concentrated flows, *Water Resources Research*, 38 (12), 39-1.
2. Bayatti, M., 2006. Gully properties and gully controlling factors, case study: between Meshkinshahr and Ahhar, *Geog. Dev. Iran. J*, 4, 115-136. (In Persian)
3. Capra, A.; Mazzara, L. M.; & B. Scoicolone, 2005. Application of the EGEM model to predict ephemeral gully erosion in Sicily, (Italy). *Catena*, 59, 133-146.
4. Chaplot, V., 2013. Impact of terrain attributes, parent material and soil types on gully erosion, *Geomorphology*, 186, 1-11.
5. Daggupati, P.; Aleksey, Y.; Sheshukov.; & R. Kyle, Douglas-Mankin, 2014. Evaluating ephemeral gullies with a process-based topographic index model, *Catena*, 113, 177-186.
6. Dlapa, P.; Chrenková, K.; Mataix-Solera, J.; & I. Šimkovic, 2012. Soil profile improvement as a byproduct of gully stabilization measures, *Catena*, 92, 155–161.
7. Gordon, L.; Bennett, S.; Bingner, R.; Theurer, F.; & C. Alonso, 2006. REGEM: The revised ephemeral gully erosion model, *8<sup>th</sup> PROCEEDINGS of the Eighth Federal Interagency Sedimentation Conference*, April 2-6, 2006, Reno, NV, USA.
8. Hafezi Moghaddas, N., 2011. Engineering Geology, Arses press, 488p. (in Persian)
9. Jafarai Gorzin, B., & A. Kavian., (2009). Assessment of gully erosion occurrence in Sorkh-Abad watershed using remote sensing and geographical information system. *Iran-Watershed Management Science & Engineering*. 3 (7), 55-58. (In Persian)
10. Kemper, W. D., & R. C. Rosenau., (1986). Aggregate stability and size distribution. In: Klute A (ed). Methods of Soil Analysis. Part a: Physical and Mineralogical Methods. American Society of Agronomy. Soil Science Society of America, Madison, WI. Pp 425–442.
11. Moghimi, I., & N. Salammi., (2011). Mechanism of geomorphologic creation and development of gully in the winter quarter of Haj Mohammad in the northern slope of Khoroslu in Ardebil. *Territory*. 30, 49-61. (In Persian)
12. Motevalli, S., & R. Esmaili., (2013). Landslide hazard zoning using gamma fuzzy operator (A case study: Taleghan watershed). *Environmental Erosion Researches*. 8, 1-20.
13. Nachtergaele, J., & J. Poesen., (2002). Spatial and temporal variations in resistance of loess-derived soils to ephemeral gully erosion. *European Journal of Soil Science*. 53, 449– 463.
14. Nachtergaele, J.; Poesen, J.; Steegen, A.; Takken, I.; Beuselinck, L.; Vandekerckhove, L.; & G. Govers, 2001a. The value of a physically based model versus an empirical approach in the prediction of ephemeral gully erosion for loess-derived soils, *Geomorphology*, 40, 237–252.
15. Nachtergaele, J.; Poesen, J.; Vandekerckhove. L.; Oostwoud. D.; & M. Roxo, 2001b. Testing the ephemeral gully erosion model (EGEM) for two mediterranean environments, *Earth Surface Processes and Landforms*, 26, 17-30.
16. Page, A. L.; Miller, R. H.; & D. R. Keeney, 1982. Methods of Soil Analysis, part2, chemical and microbiological properties, American Society of Agronomy, Inc, Soil Science Society of America, Madison, WI. 510p.
17. Poesena, J.; Nachtergaelea, J.; Verstraeten, G.; & C. Valentin, 2003. Gully erosion and environmental change: importance and research needs, *Catena*, 50, 91– 133.
18. Qilin, Y.; Jiarong, G.; Yue, W.; & Q. Bintian, 2011. Debris flow characteristics and risk degree assessment in changyuan gully, Huairou district, Beijing, *Procedia Earth and Planetary Science*, 2, 262–271.

19. Rafahi, H. Gh., 2006. Water erosion and conservation, University of Tehran press, 671p. (in Persian)
20. Reynolds, W. D.; Elrick, D. E.; & E. G. Youngs, 2002. Ring or cylinder infiltrometers (vadose zone). In: Dane, J. H. and G. C. Topp (Eds), Methods of soil analysis, Part 4. Physical methods, Soil Science Society of America, Madison, Wisconsin USA. pp. 818- 826.
21. Rezaei Moghaddam, M. H., & A. Behbodi., (2011). Application of EGEM in estimating the erosion of ephemeral gullies in Sarand Chay drainage basin, *Geographic Space*, 35, 135-153. (In Persian)
22. Shahab, H.; Emami, H.; Haghnia, Gh. H.; & A. Esmali, 2016. Comparing the analytic hierarchy process and fuzzy logic for zoning the risk of gully erosion in the three regions of the Ardeabil province, *Journal of Environmental Erosion Research*, 6 (21), 1-16. (In Persian)
23. Soufi, M., & H. Esaei., (2010). Estimate of gully erosion volume with morphometric and soil properties in Golestan province, *J. Water. Engin. Manage*, 2, 73-82. (In Persian)
24. Taguas, E. V.; Yuan, Y.; Bingner, R. L.; & J. A. Gómez, 2012. Modeling the contribution of ephemeral gully erosion under different soil managements: A case study in an olive orchard microcatchment using the AnnAGNPS model, *Catena*, 98, 1-16.
25. Tekwa, I. J.; Laflen, J. M.; & A. MusaKundiri, 2015. Efficiency test of adapted EGEM model in predicting ephemeral gully erosion around Mubi, Northeast Nigeria, *International Soil and Water Conservation Research*, 3, 15-27.
26. Valentin, C. J.; Poesen, J.; Yong Li, 2005. Gully erosion: Impacts, factors and control, *Catena*, 63, 132–153.
27. Wischmeier, W. H., & D. D. Smith., (1978). Predicting rainfall erosion losses—a guide to conservation planning. USDA Agricultural Handbook, Washington. D.C, 537p
28. Woodward, D. E., 1999. Method to predict cropland ephemeral gully erosion, *Catena*, 37, 393-399.
29. Yalcin, A., 2008. GIS-based landslide susceptibility mapping using analytical hierarchy process and bivariate statistics in Ardesen (Turkey), comparisons of results and confirmations, *Catena*. 72, 1-12.

## Evaluation and optimization of REGEM model to estimate the gully erosion distribution in three watershed of Ardabil province

**Hossein Shahab Arkhazloo\***: Assistant Professor, Department of soil science and engineering, faculty of agriculture and natural resources, Mohaghegh Ardabili University.

**Shokrollah Asghari**: Associate Professor, Department of soil science and engineering, faculty of agriculture and natural resources, Mohaghegh Ardabili University.

Article History (Received: 2018/01/28 Accepted: 2019/03/16)

### Extended Abstract

**Introduction:** Gully erosion is the most severe type of water erosion, which causes large damage in the watersheds. To determine the risk of this type of erosion, it is necessary to estimate its severity and specify the distribution of the risk of erosion in the watershed. One of the models used to estimate the gully erosion is REGEM model, but accurate estimation of erosion requires adaptation of the model to regional conditions. In this study, from REGEM and Adapted REGEM (AREGEM) models, they were used to estimate the gully erosion severity of Ardebil province. Also, the distribution of the two models' outputs where mapped in the three watershed and compared to the chosen ones of optimal model.

**Methodology:** In this research, three watersheds were selected in Orta Dagh, Mollahammad and Sarcham of Ardebil province. Respectively 28, 33 and 20 small gullies were selected from three watersheds. In order to estimate the gully erosion with the AREGEM model, the equations of REGEM base model were used. For this purpose, regression relations between the measured values of the gully dimensions and the estimated values by REGEM model were established and coefficients of equations were corrected. Using the equations of REGEM and AREGEM models, three outputs of the model including shear stress ( $\tau_c$ ), soil erosion factor (Kd) and gully volume (V) for selecting gullies were calculated and with using of IDW interpolation method, obtained the distribution of these three factors in the three watersheds. The outputs of the models were considered as an indicator of gully erosion severity and the watersheds were divided into four levels of erosion intensity. Finally, using two indicators of density ratio (Dr) and quality sum (Qs), the erosion classes obtained from the two models were evaluated and compared.

**Results:** The results showed that using the REGEM model, the average volume of gullies were in the Orta Dagh region 15.6, Mollahammad 17.2 and Sarcham 16.3 cubic meters while the AREGEM model was 16.1, 17.8 and 16.8 Cubic meter respectively. For the three areas of Orta Dagh, Mollahammad and Sarcham, the average of shear stress with REGEM model was 31.5, 32.2 and 24.8, respectively, and with AREGEM model 32.1, 33.3 and 20.6 respectively. The soil erosion factor (Kd) with REGEM model was 62.1%, 63.3% and 69.1% for the three regions, with AREGEM 1/62, 64.2% and 70.1%, respectively. In general, there is not much difference between the mean values of the outputs obtained from the two models, but the distribution map of the outputs in the two models differed greatly. Visually, in all three regions, the estimated erosion volume by AREGEM model has better compliance with the gully density of watersheds, while estimates of the REGEM base model in all three regions were not a good predict of gullies distribution. Also, the comparing of shear stress and soil erosion factors maps, showed similar

results in three regions. Therefore, in order to have a more accurate comparing of the two models' outputs distribution map, the semi-quantitative index of the density ratio (Dr) and the quantitative index of quality sum (Qs) were used. Generally, in all three areas, for maps derived from the AREGEM model, with the increase in the classes of all three outputs of the model, the index of the density ratio (Dr) had an incremental trend, while for the REGEM model this trend was not regular. This indicates that as the erosion rate estimated by the AREGEM outputs increases, the density of the gully in those classes also increases, so there is a greater relation between the estimated erosion values with the AREGEM model and the sensitive classes to gully erosion. Also, the use of the Qs index showed that, the AREGEM model has a higher zoning quality and the ability of this model to determine the classes of sensitivity to gully erosion is more abundant.

**Discussion & Conclusions:** The use of the REGEM base model to determine the distribution of gully erosion is not accurate and this model needs to be modified and applied according to the conditions of the study area. For this purpose, the Adapted REGEM (AREGEM) model was presented and used. Also it has been observed that between three outputs obtained from the model, the use of gully volume is more effective in determining the exact distribution of gully erosion. Among the three studied regions, the AREGEM model in the Orta Dagh region has the highest efficiency for determining the distribution of gully erosion and then, respectively in the Mollahammad and Sarcham.

**Keywords:** Model correction, GIS, Risk assessment

---

<sup>i</sup> \* Corresponding Author, Email: h.shahab@uma.ac.ir